УДК 548.736 <u>ХИМИЯ</u>

В. Н. СЕРЕЖКИН, Л. М. КОВБА, В. К. ТРУНОВ

СТРОЕНИЕ ДВОЙНЫХ ОКИСЛОВ УРАНА И МОЛИБДЕНА

(Представлено академиком В. И. Спицыным 17 XI 1972)

Существование двойных окислов урана и молибдена обнаружено сравнительно недавно. Сейчас известно, что два из них — $UMoO_5$ (изучался изоструктурный UVO_5 (¹, ²)) и U_2MoO_8 (³) — относятся к структурным типам, производным от α - U_3O_8 . Согласно работам (², ¹), представителем еще одного структурного типа двойных окислов урана и молибдена является β - UMo_2O_8 . При исследовании системы β - UMo_2O_8 — MoO_2 — MoO_3 было обнаружено несколько новых двойных окислов: UMo_1O_3 2, α -, β - и γ - $U_3Mo_2O_6$ 4. Рентгенографические данные для всех указанных кислородных соединений урана и молибдена приведены в табл. 1.

Так как у двойных окислов β -UMo₂O₈, UMo₁₀O₃₂, α -, β - и γ -U₃Mo₂₀O₆₄ можно выделить субъячейку с параметрами $a \approx 4,1$; $b \approx 7,2$; $c \approx 9,9$ Å, было высказано предположение о структурном родстве этих соединений. В связи с этим рентгеноструктурное исследование указанных двойных окислов урана и молибдена представляло определенный интерес.

Съемка монокристаллов $UMo_{10}O_{32}$, α -, β - и γ - $U_3Mo_{20}O_{64}$ приводилась в камере $K\Phi OP$ (излучение MoK_{α}). Интенсивности 448, 640, 345 и 286 независимых отражений (соответственно для $UMo_{10}O_{32}$, α -, β - и γ - $U_3Mo_{20}O_{64}$) были оценены по маркам почернения. Анализ трехмерных распределений межатомных функций подтвердил совпадение мотивов расположения атомов металлов в этих соединениях и β - UMo_2O_8 и позволил сделать некоторые выводы о возможных вариантах чередования атомов урана и молибдена по позициям, которые в структуре β - UMo_2O_8 заняты только атомами

Таблица 1 Известные двойные окислы урана и молибдена

Соединение	a, Å	b, Å	c, Å	z	Простр. гр у ппа	Источник
$\begin{array}{c} U_2MoO_8\\ UMoO_5\\ \beta\text{-}UMo_2O_8\\ \alpha\text{-}U_3Mo_{20}O_{61}\\ \beta\text{-}U_3Mo_{20}O_{64}\\ \gamma\text{-}U_{1,5}Mo_{17}O_{32}\\ UMo_{10}O_{32} \end{array}$	6,734 4,115 4,115 8,246 4,119 4,134 16,18	23,24 12,761 7,327 28,76 14,38 14,33 14,48	4,115 7,338 20,08 19,78 19,76 9,873 19,74	4 4 4 4 1 1 8	P2 ₁ 2 ₁ 2 Pbcm Pncb Cccm Pccm Pbmm Cccm	(3) (1,2) (2,4) ————————————————————————————————————

урана. Рассматривая образование двойных окислов $UMo_{10}O_{32}$ и $U_3Mo_{20}O_{64}$ как результат замещения части атомов урана в структуре β - UMo_2O_8 на атомы молибдена, нужно заметить, что имеющиеся данные свидетельствуют о существовании вакансий в катионной подрешетке. Так, указанные выше соединения имеют состав $Me_{11}O_{32}$ и $Me_{23}O_{64}$, тогда как при отсутствии вакансий он выражался бы соответственно формулами $Me_{12}O_{32}$ и $Me_{24}O_{64}$.

Для выяснения характера чередования атомов урана и молибдена проводилось уточнение заселенностей позиций тех правильных систем точек,

которые могли быть заняты атомами металла разного сорта. Одновременно проводилось сопоставление соотношений между высотами максимумов, присутствовавших в трехмерных распределениях электронной плотности и ожидавшихся, исходя из уточненных моделей чередования. Координаты атомов кислорода были определены из разностного трехмерного синтеза электронной плотности. При последующем уточнении координат всех атомов в структурах $UMo_{10}O_{32}$ α -, β - и γ - $U_3Mo_{20}O_{64}$, которое проводилось методом наименьших квадратов с учетом индивидуальных тепловых поправок в изотропном приближении, факторы недостоверности понизились соответственно до 0,136; 0,155; 0,126; 0,166.

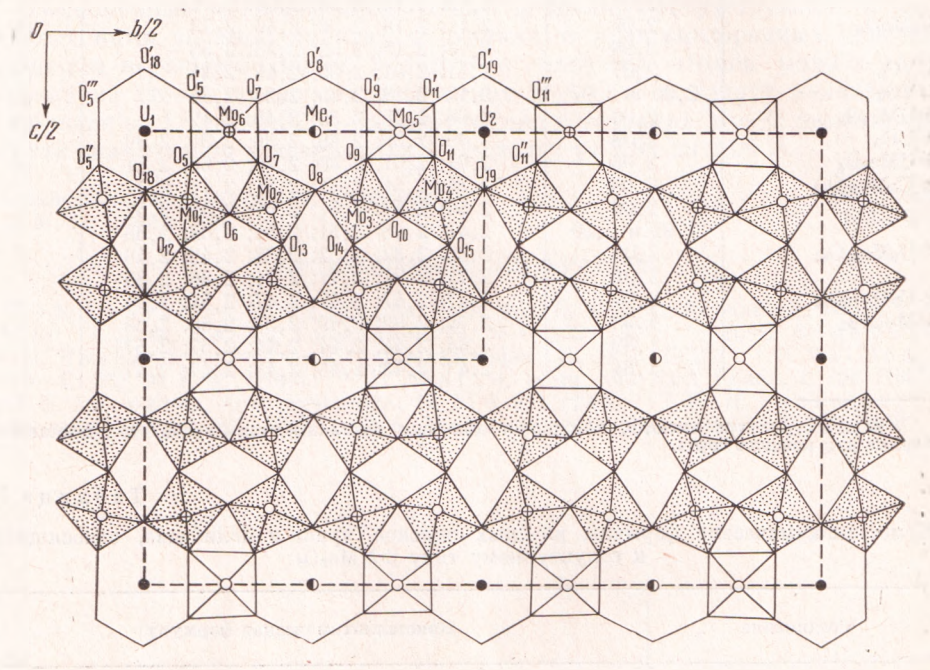


Рис. 1. Поясная проекция $(-1/4 \le x \le 1/4 yz)$ структуры $\alpha = U_3 Mo_{20} O_{64}$

Характерным элементом структуры изученных двойных окислов являются бесконечные слои состава Mo₂O₇, которые распространяются перпенликулярно периоду с. Слои образованы октаэдрами МоО6, соединенными между собой пятью общими вершинами. «Толщина» каждого слоя, как видно из рис. 1, на котором изображена поясная проекция $(-1/4 \le x \le x \le x)$ $\leq 1/4 \ yz$) структуры α - ${
m U}_{3}{
m Mo}_{20}{
m O}_{64}$, соответствует двум октаэдрам, имеющим общую вершину. Между слоями Мо2О7 во всех соединениях находятся атомы урана, молибдена и кислорода, которые соединяются в металл-кислородные цепочки, распространяющиеся параллельно периоду a (в слоях МогО, также можно выделить бесконечные молибден-кислородные цепочки, парадлельные периоду а). Кроме двух близлежащих атомов кислорода в цепочках в координационную сферу каждого атома урана и молибдена, которые находятся между слоями, входит соответственно шесть или четыре атома кислорода от соседних слоев Мо₂О₇, в результате чего координационным многогранником атомов урана является гексагональная бипирамида, а атомов молибдена — октаэдр.

Бесконечные уран-кислородные и молибден-кислородные цепочки присутствуют не только во всех известных двойных окислах урана и молибдена, но и в некоторых простых окислах этих металлов. В связи с этим интересно отметить, что расстояние U—О в уран-кислородных цепочках, равное 2,06—2,08 Å, устойчиво сохраняется в структурах ряда кислородных соединений урана, в том числе и в изученных нами двойных окислах,

Межатомные расстояния (Å) в полиэдрах атомов урана в некоторых кислородных соединениях *

Соединение	Расстояние U—О в цепоч- ке	Расстояния U—О _{ЭКВ}	Источник
δ-UO ₃	2,07	2,07; 2,07; 2,07	(5)
α-U ₃ O ₈	2,07 2,07	2,18; 2,18; 2,23; 2,23; 2,44 2,12; 2,16; 2,20; 2,20; 2,71	(6)
U ₂ MoO ₈	2,06 2,08	2,11; 2,18; 2,36; 2,46; 2,73 2,13; 2,15; 2,32; 2,35; 2,58	(3)
UVO ₅	2,07	2,31; 2,31; 2,35; 2,44; 2,44	(2)
UVO ₅	2,05 m 2,07	2,18; 2,18; 2,25; 2,25; 2,34	(1)
β-UMc ₂ O ₈	2,06	2,06; 2,06; 2,35; 2,49; 2,49	(2) (7) (4)
a-UO ₃	2,08	2,39; 2,39; 2,39; 2,39; 2,39	(7)
B-UMo ₂ O ₈	2,06	2,01; 2,01; 2,30; 2,30; 2,65; 2,81	(4)
a-U3M020Oc4	2.06	2,31; 2,31; 2,31; 2,71; 2,71	
	2,06	2,51; 2,51; 2,51; 2,51; 2,52; 2,52	
	1,92 и 2,20	2,43; 2,43; 2,51; 2,51; 2,68; 2,68	
β-U ₃ Mo ₂₀ O ₆₄	2,06	2,32; 2,32; 2,32; 2,32; 2,49; 2,49 2,71; 2,71; 2,71; 2,71; 2,86; 2,86	
7-U3MC20O64	2,07	2,47; 2,47; 2,47; 2,47; 2,54; 2,54	_
UM010O32	1.93	2,39; 2,39; 2,39; 2,68; 2,68	_
1	1,89 1,84	2,44; 2,44; 2,44; 2,44; 2,57; 2,57 2,43; 2,43; 2,43; 2,43; 2,47; 2,47	

Всли в структуре имеются кристаллографически различные атомы урана, то представлены данные для каждого сорта.

Таблица 3 Кристаллохимические формулы двойных окислов урана и молибдена, относящихся

к структурному типу В-U Mo₂O₈

Соединение	Кристаллохимическая формула			
β -UMo $_2$ O $_8$ α -U3Mo $_2$ 0 $_6$ 4 β -U3Mo $_2$ 0O $_6$ 4 γ -U3Mo $_2$ 0O $_6$ 4 UMO $_1$ 0O $_2$ 2	$ \begin{array}{l} [UO] [Mo_2O_7] * \\ [U_2(U + \square)Mo_4O_8] [Mo_2O_7]_8 \\ [U_2(U + Mo)(Mo_3 + \square)O_8] [Mo_2O_7]_8 \text{или} [U_{3/} \square_{1/} Mo_{1/2}O] [Mo_2O_7] \\ [(U_3 + \square)_{1/} Mo_2O_4] [Mo_2O_7]_4 \\ [U\square(U + \square)Mo_4O_8] [Mo_2O_7]_8 \text{или} [U_{1/4} \square_{1/} Mo_{1/2}O] [Mo_2O_7] \end{array} $			

^{*} По данным работы (2).

хотя формальная степень окисления урана и количество лигандов в экваториальной плоскости, как видно из данных табл. 2, может изменяться в довольно широких пределах от 4 до 6. Отсутствие зависимости между величиной расстояния U-O в цепочке и валентным состоянием урана или количеством лигандов в экваториальной плоскости, по-видимому, указывает на существенное различие в электронном строении уранильных групп и уран-кислородных цепочек, несмотря на то что между ними наблюдается определенное кристаллохимическое сходство.

Сопоставление строения двойных окислов $UMo_{10}O_{32}$, α -, β - и γ - $U_3Mo_{20}O_{64}$ показывает, что структуры этих соединений очень близки и отличаются только характером размещения атомов урана и молибдена между слоями Mo₂O₇ (т. е. по позициям атомов урана в структуре β-UMo₂O₈). Наиболее наглядно структурное родство указанных двойных окислов выявляется

ири сравнении их кристаллохимических формул (табл. 3).

Уменьшение расстояний U-O_{акс} в некоторых изученных двойных окислах по сравнению с расстояниями U-O в бесконечных цепочках (табл. 2) в соответствии с полученными данпыми обусловлено либо статистическим размещением атомов урана (α - U_3 Мо $_{20}$ О $_{64}$), либо отсутствием бесконечных цепочек U—О (UМо $_{10}$ О $_{32}$). Наличие в структуре UМо $_{10}$ О $_{32}$ только фрагментов смешанных уран-молибден-кислородных цепочек, одновременно с которыми присутствуют бесконечные цепочки Мо—О, позволяет понять, почему период металл-кислородных цепочек, т. е. кратчайшее расстояние О—О или Ме—Ме в цепочке, в этом соединении (4,045 Å) заметно меньше периода бесконечных уран-кислородных цепочек (4,12—4,13 Å) и близок по величине к периоду молибден-кислородных цепочек в простых окислах молибдена (соответственно 4,052 и 4,019 Å для Мо $_8$ О $_{23}$ и Мо $_9$ О $_{26}$ (8)).

Бесконечные молибден-кислородные цепочки, присутствующие в изученных нами двойных окислах, в отличие от уран-кислородных цепочек, являются неравноплечными. Вследствие смещения атомов молибдена к одному из атомов кислорода расстояния Mo-O в октаэдрах находятся в интервале от 1,62 до 2,62 Å, однако средние расстояния Mo-O изменяются

не так значительно и колеблются в пределах от 1,91 до 2,06 Å.

Московский государственный университет им. М. В. Ломоносова Поступило 14 XI 1972

ЦИТИРОВАННАЯ ЛИТЕРАТУРА

¹ R. Chevalier, M. Gasperin, Bull. Soc. fr. Mineral. Crystallogr., 93, № 1, 18 (1970). ² Л. М. Ковба, Радиохимия, 13, № 6, 909 (1971). ³ В. Н. Сережкин, Л. М. Ковба, В. К. Трунов, Кристаллография, 18, № 3 (1973). ⁴ P. Pailleret, C. R., C. 265, № 2, 85 (1967). ⁵ W. Wait, J. Inorg. and Nucl. Chem., 1, 309 (1955). ⁶ В. О. Loopstra, Acta crystallogr., 17, № 6, 651 (1964). ⁷ W. H. Zachariasen, Acta crystallogr., 1, 265 (1948). ⁸ A. Magneli, Acta chem. scand., 2, 501 (1948).